

Introdução à Correspondência AdS/CFT

Parte 3

Henrique Boschi Filho

**Instituto de Física
UFRJ**

boschi@if.ufrj.br

**XI Escola do CBPF
CBPF, 17 a 28 de julho de 2017**

EFEITOS TÉRMICOS NA DUALIDADE CALIBRE/CORDAS

Buraco negro de Schwarzschild no espaço AdS

$$ds^2 = \left(\frac{r^2}{R^2}\right)(-f(r)dt^2 + d\vec{x}^2) + \left(\frac{R^2}{r^2}\right)\frac{1}{f(r)}dr^2 + R^2d^2\Omega_5,$$

$$\text{onde } f(r) = 1 - r_T^4/r^4 , \quad r_T = \pi R^2 T .$$

Esse espaço é dual a uma teoria de calibre a **Temperatura finita T** , na fronteira do AdS (Witten ATMP 98 (B)).

Na temperatura $T = 0$ este espaço é o AdS.

Esse espaço foi usado com sucesso para obter a viscosidade do plasma de quarks e glúons, observado no RHIC (Brookhaven):

G. Policastro, D. T. Son and A. O. Starinets PRL 2001;
P. Kovtun, D. T. Son and A. O. Starinets, PRL 2005;

.

.

O problema de cordas estáticas nesse espaço foi discutido em detalhes por

S. J. Rey, S. Theisen e J. T. Yee 98;
A. Brandhuber, N. Itzhaki, J. Sonnenschein e
S. Yankielowicz, 1998.

→ Este espaço é NÃO confinante.

POTENCIAL QUARK ANTI-QUARK A TEMPERATURA FINITA NA DUALIDADE CALIBRE/CORDAS

H.B.F., N.R.F.Braga and C.N.Ferreira, PRD 2006 (B).

Seguindo nossa abordagem fenomenológica para reproduzir o confinamento, introduzimos um **corte infravermelho** (brana) em $r = R$.

A energia de uma corda estática com extremidades em $r \rightarrow \infty$ separadas por uma variação de coordenadas $\Delta x = L$, depende da relação entre o raio do horizonte (temperatura) do buraco negro no AdS e a posição da brana infravermelha .

- ALTAS TEMPERATURAS: $r_T \geq R$

Esta solução coincide com o caso sem a brana infravermelha. Para pequenas separações quark-antiquark as folhas de mundo com mínima área correspondem às geodésicas em forma de U e sua energia aumenta com L :

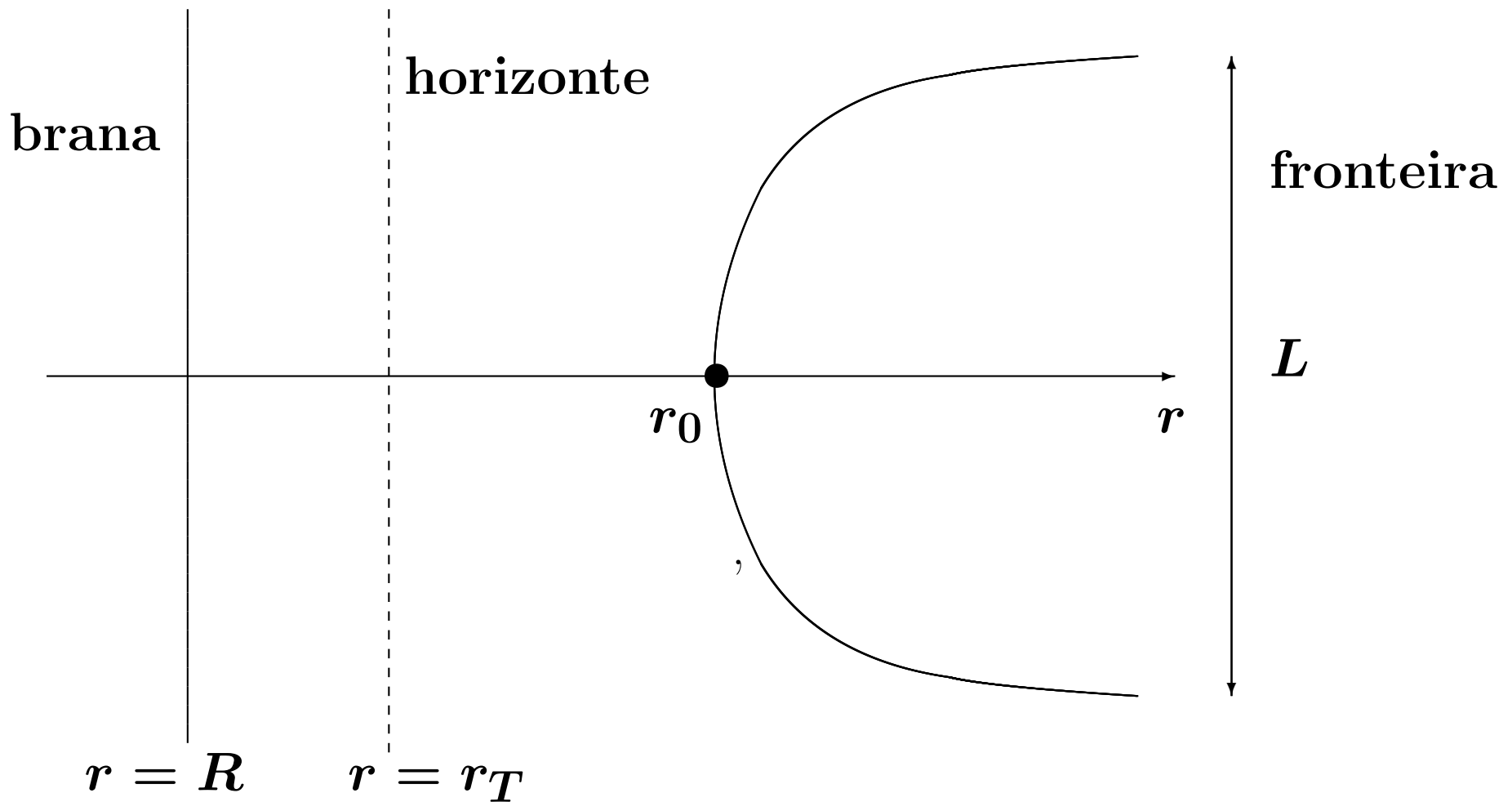
$$E = \frac{1}{\pi\alpha'} \left\{ \int_1^\infty \left(\frac{\sqrt{y^4 - \frac{r_T^4}{r_0^4}}}{\sqrt{y^4 - 1}} - 1 \right) r_0 dy - r_0 \right\}$$

(subtraindo as massas dos quarks $m_q = (1/2\pi\alpha') \int_0^\infty dr$)

Note que L é relacionado com r_0 por

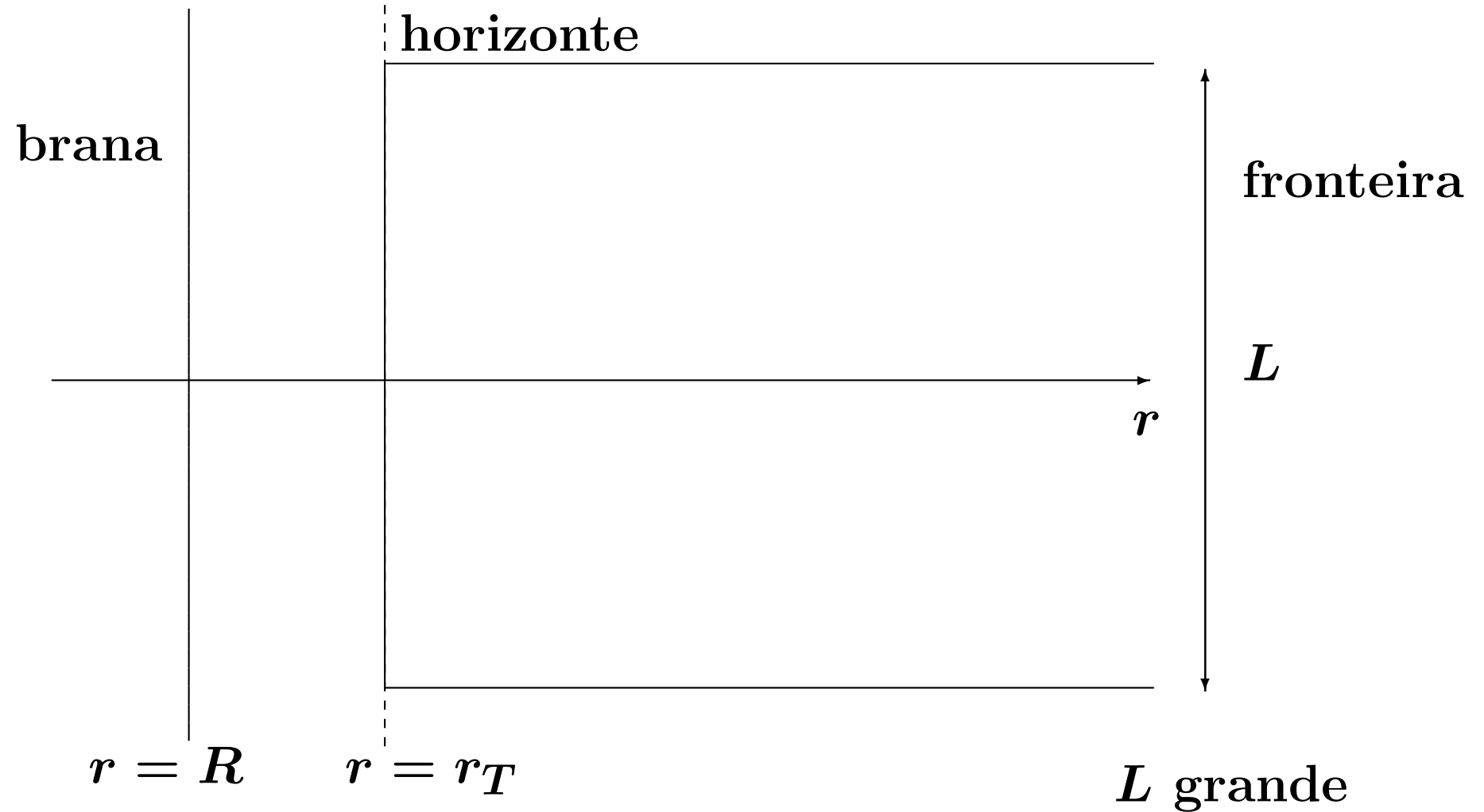
$$L(r_0) = 2 \frac{R^2}{r_0} \sqrt{1 - \frac{r_T^4}{r_0^4}} \int_1^\infty \frac{dy}{\sqrt{(y^4 - 1)(y^4 - \frac{r_T^4}{r_0^4})}}$$

Altas Temperaturas, L pequeno



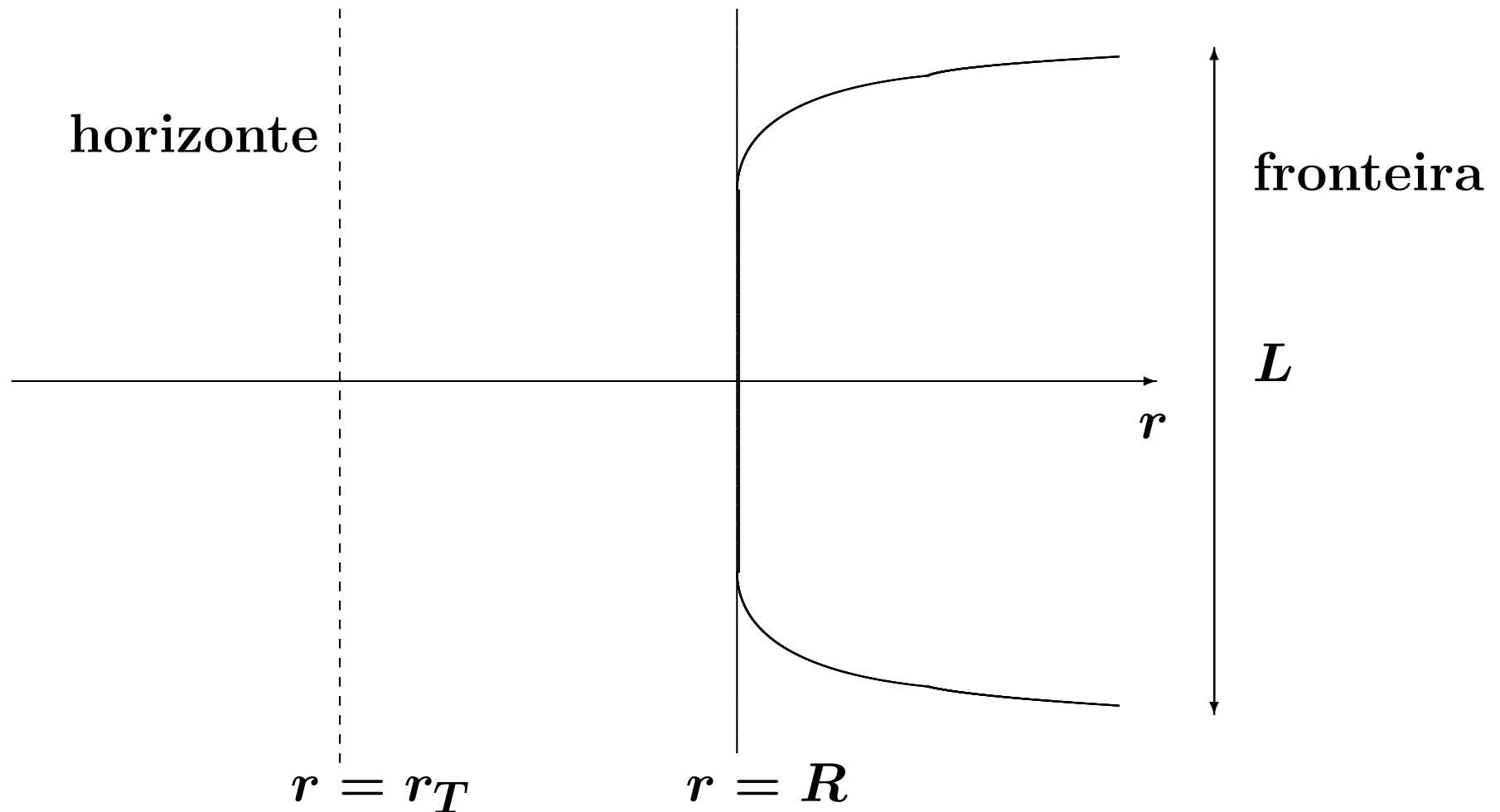
Geodésica em forma de U, com mínimo em r_0 longe da brana e do horizonte.

Altas Temperaturas, L grande



Baixas Temperaturas

brana



Geodésica em forma de U degenerada, com mínimos ao longo da brana.

- BAIXAS TEMPERATURAS: $r_T < R$

A corda pode alcançar a brana, mas não o horizonte.

Para separações de quarks $L < L(r_0)|_{r_0=R}$ a corda tem a forma de U como no caso de altas temperaturas.

Para $L > L(r_0)|_{r_0=R}$ a corda tem a forma de U degenerada com mínimos ao longo da brana:

$$E = \frac{1}{\pi\alpha'} \int_1^\infty \left(\frac{\sqrt{y^4 - \frac{r_T^4}{R^4}}}{\sqrt{y^4 - 1}} - 1 \right) R dy - \frac{R}{\pi\alpha'} + \frac{1}{2\pi\alpha'} (L - L(R)) \sqrt{1 - \frac{r_T^4}{R^4}}$$

Para grandes valores de L o termo dominante é linear:

$$E \sim \frac{L}{2\pi\alpha'} \sqrt{1 - \frac{r_T^4}{R^4}}. \quad \Rightarrow \text{Confinante}$$

Então se $T \leq T_C = R_T/\pi R^2$, para grandes L ,

$$E \sim \sigma(T) L$$

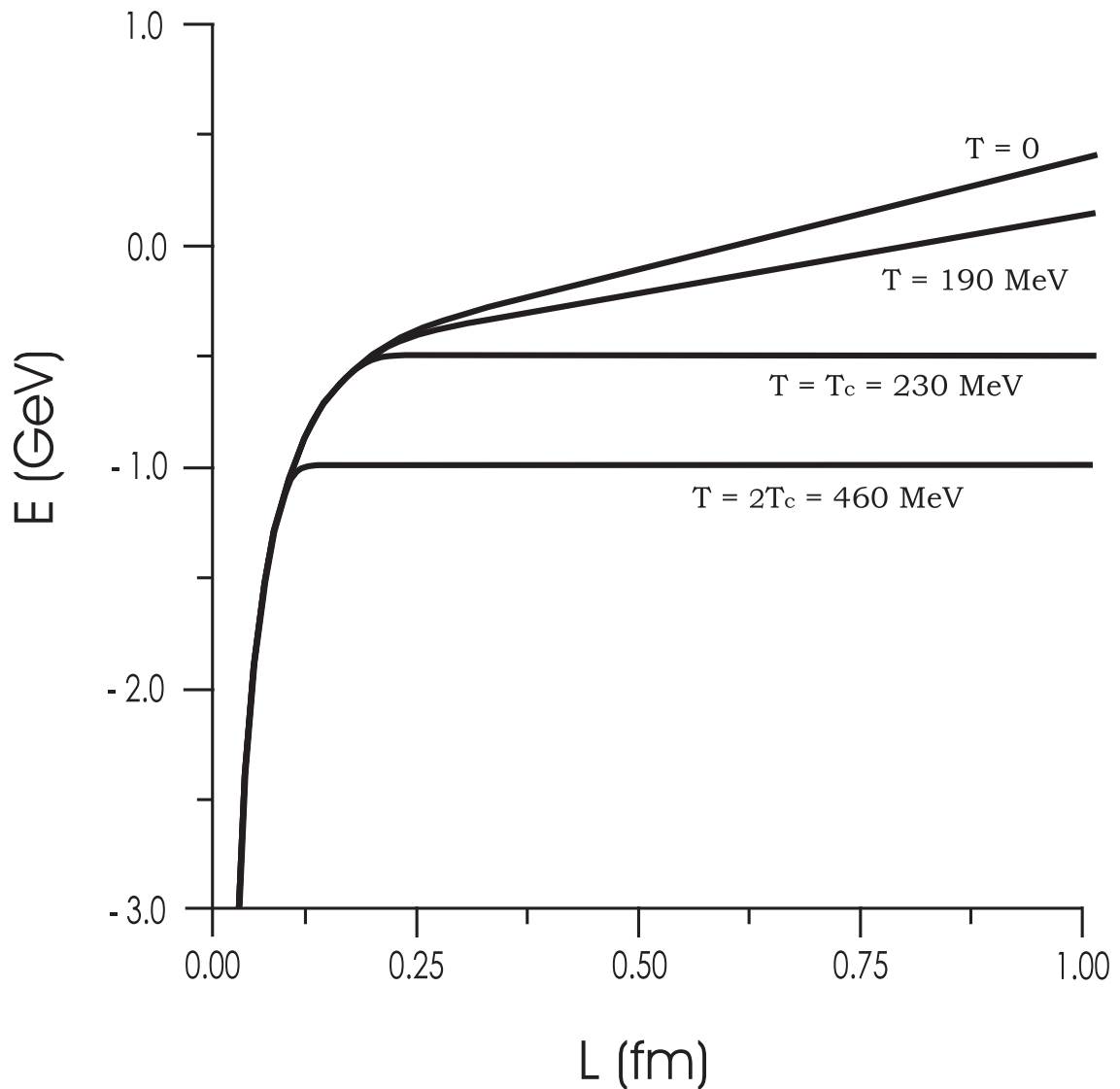
com

$$\sigma(T) = \frac{1}{2\pi\alpha'} \sqrt{1 - (\pi RT)^4}$$

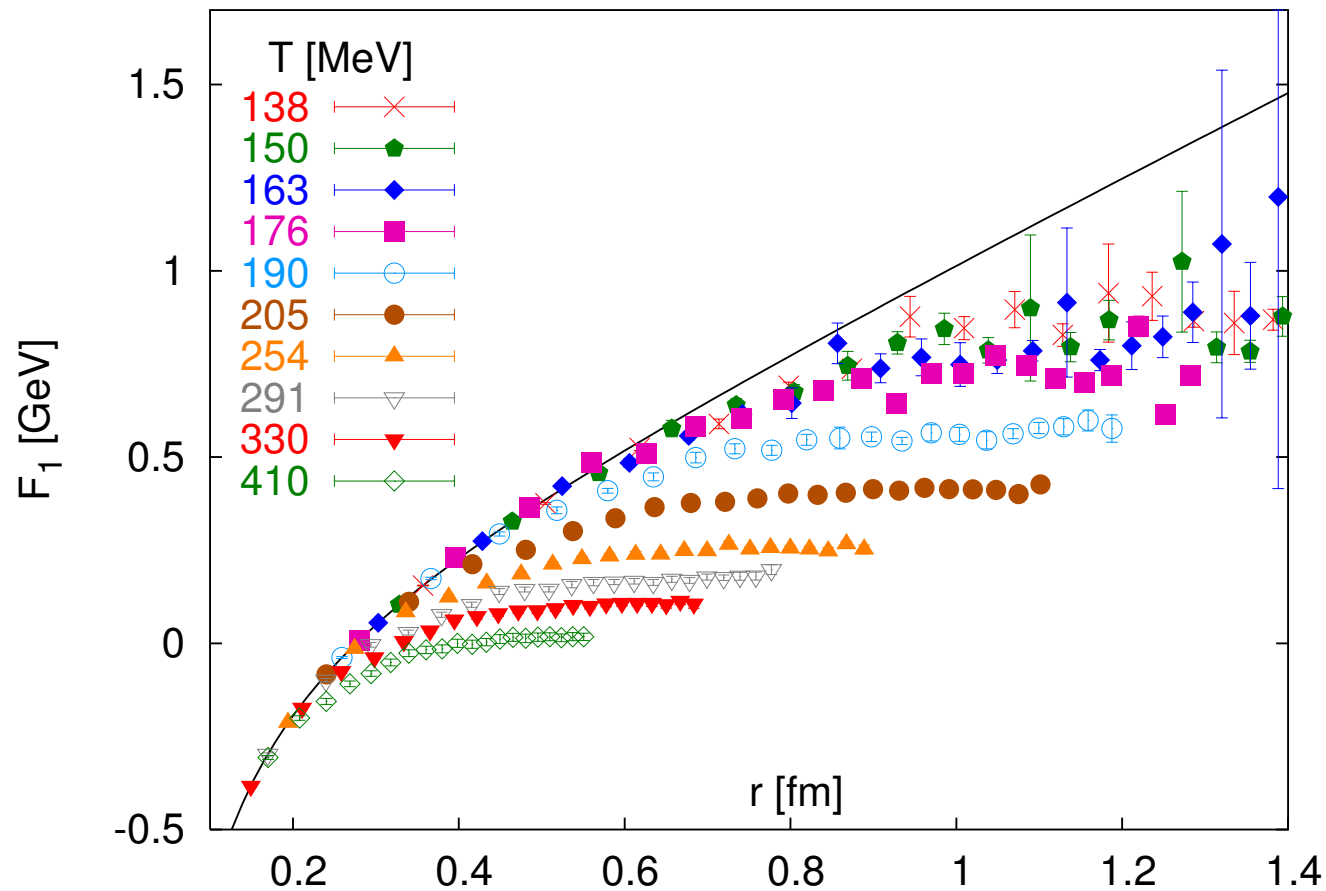
Tomando o raio R do AdS para ter o valor obtido no caso de temperatura zero, neste caso teremos

$$T_C \sim 230 \text{ MeV}$$

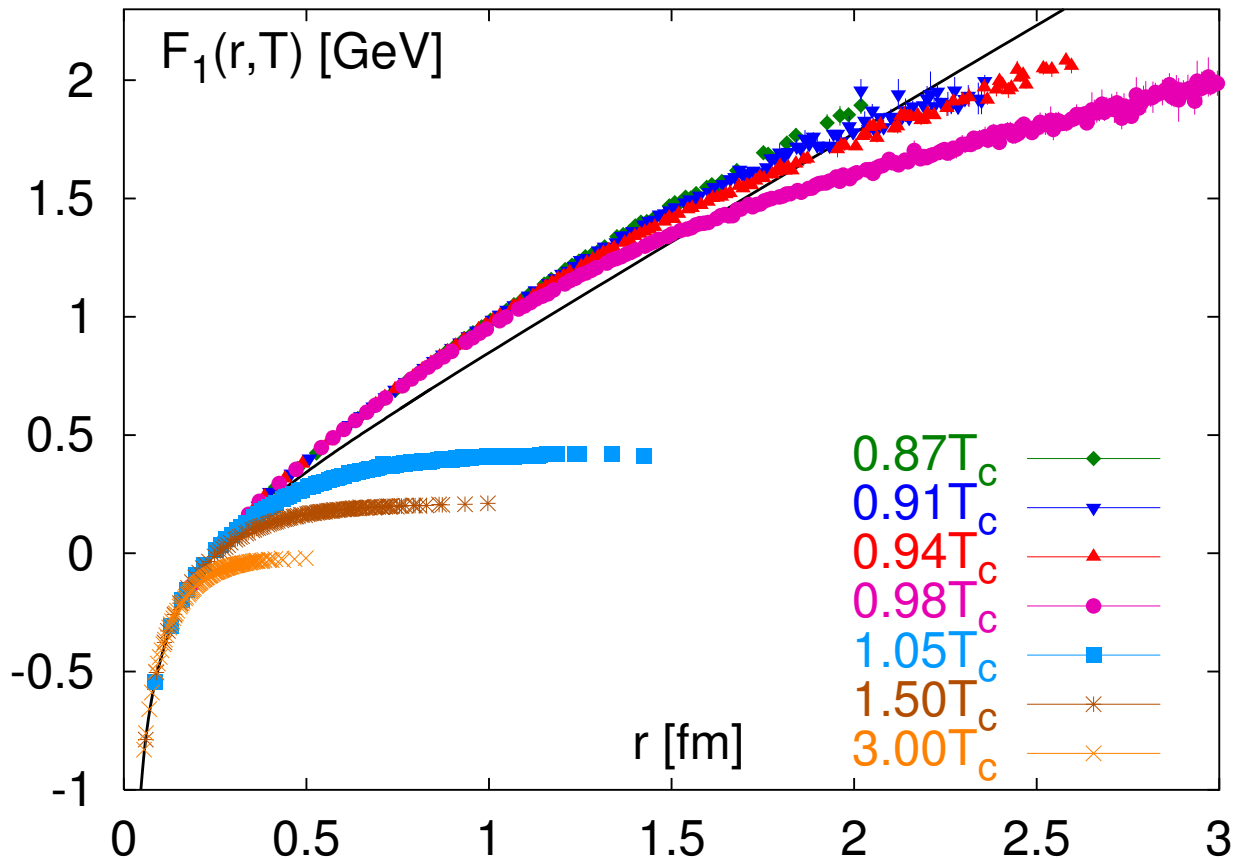
Estes resultados são qualitativamente compatíveis com os resultados obtidos na rede.



H.B.F., N.R.F.Braga e C.N.Ferreira, PRD 2006 (B).



Color singlet free energy in quenched QCD, the solid line is the zero temperature, from: “Heavy quark potentials and quarkonia binding” P. Petreczky , Eur.Phys.J.C43:51-57,2005



Color singlet free energy in three flavor QCD, the solid line is the zero temperature, from: “Heavy quark potentials and quarkonia binding” P. Petreczky , Eur.Phys.J.C43:51-57,2005

O Modelo de Parede Macia

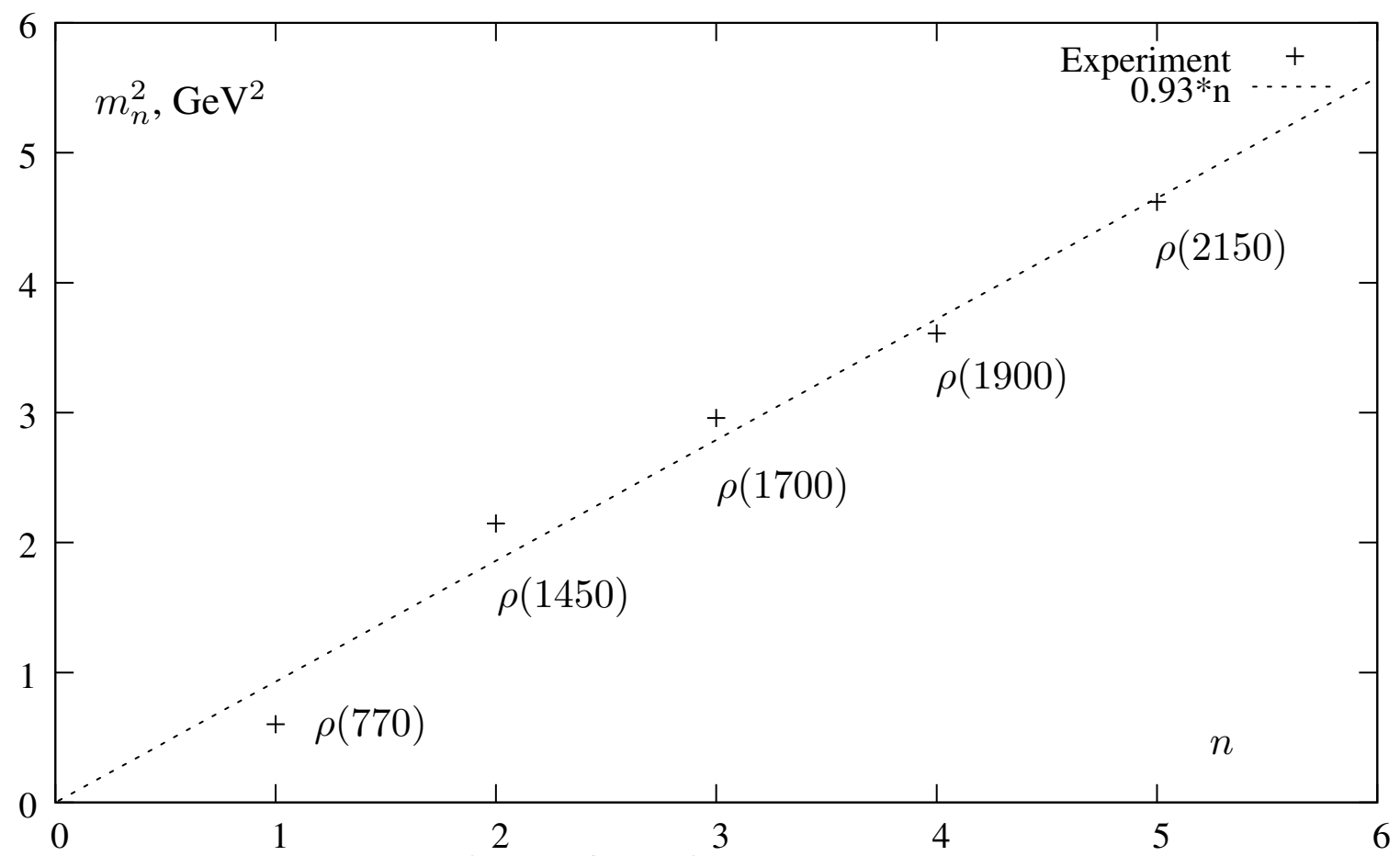
Karch, Katz, Son e Stephanov, PRD 2006;

$$I = \int d^5x \sqrt{g} e^{-\Phi} \mathcal{L} ; \quad \Phi = \Phi(z)$$

$$ds^2 = e^{2A(z)} (dz^2 + \eta_{\mu\nu} dx^\mu dx^\nu)$$

$$\text{com } \Phi - A = z^2 + \log z$$

\implies Espectro de hadrons (meson ρ)



The squared masses of the first few ρ resonances versus their consecutive number n . The straight line is the fit $m_n^2 \sim n$ [Karch, Katz, Son e Stephanov, PRD 2006].

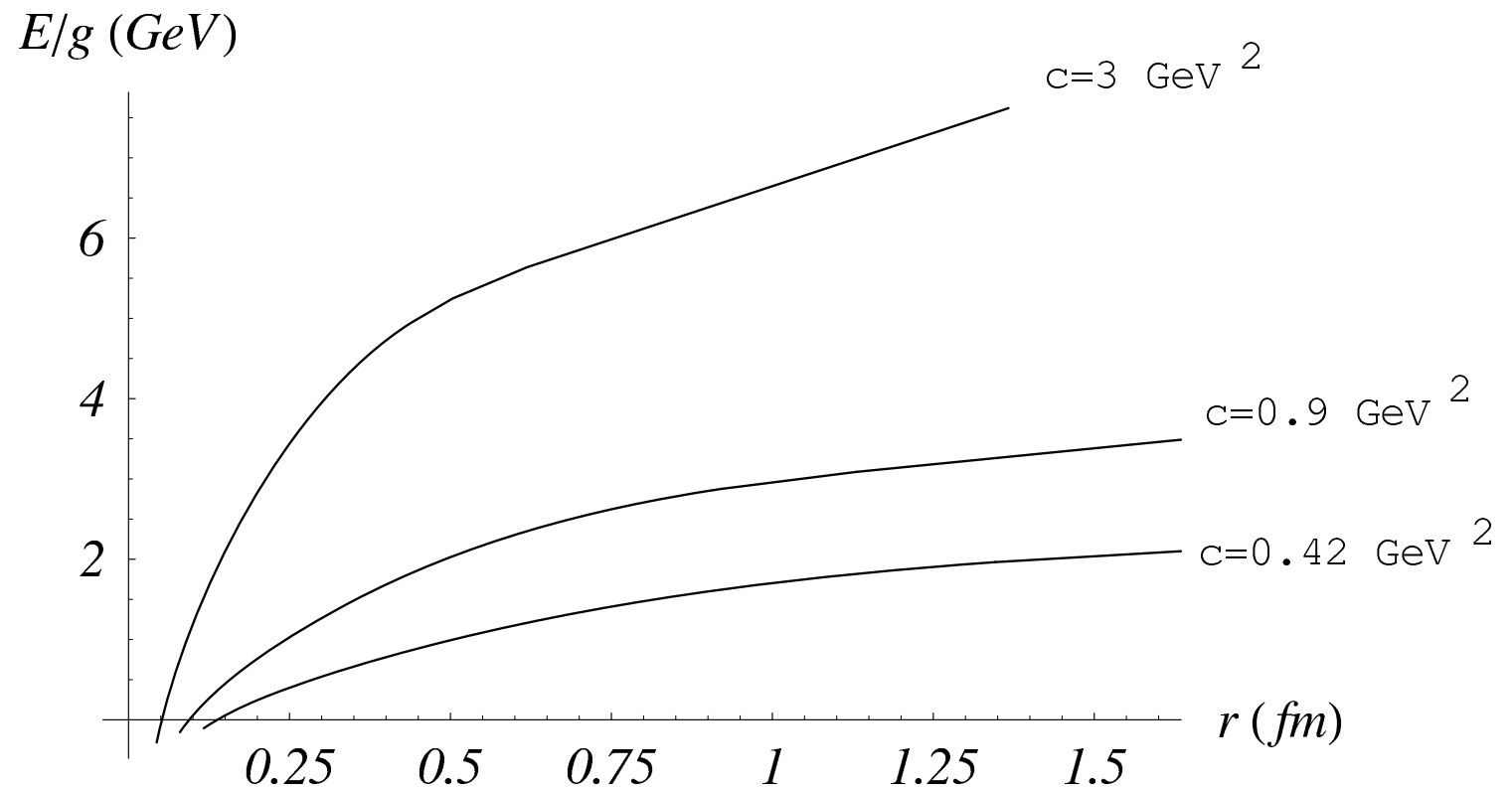
Outra proposta para AdS/QCD: AdS deformado

Andreev e Zakharov PRD 2006, PLB 2007, JHEP 2007

$$ds^2 = \frac{R^2}{z^2} h(z) (dz^2 + d\vec{x}^2)$$

$$h(z) = e^{\frac{1}{2}cz^2}$$

- Heavy-quark potentials and AdS/QCD
- Spatial String Tension, Thermal Phase Transition
- Heavy-Quark Free Energies, Entropies, Polyakov Loop



Heavy-quark potentials and AdS/QCD [Andreev e Zakharov PRD 2006].

TRANSIÇÃO DE FASE DE HAWKING PAGE

Hawking e Page estudaram a Termodinâmica de Buracos Negros no AdS (1983)

Soluções da RG que sejam AdS assintoticamente:

- AdS apenas
- BN no AdS

Usando o Princípio da Mínima Ação como critério de estabilidade termodinâmica concluíram que

- AdS estável em Baixas Temperaturas
- BN no AdS estável em Altas Temperaturas

Transição Hawking Page: AdS \rightarrow BN AdS

TRANSIÇÃO HP NA CORRESPONDÊNCIA AdS/CFT

Witten (1998) mostrou que na correspondência AdS/CFT

- com fronteiras compactas, hiperesferas
 - ◊ ocorre a transição HP para alguma $T \neq 0$
 - ◊ essa transição corresponde à transição **confinamento / desconfinamento** na teoria de calibre
- com fronteiras não compactas (Minkowski ou Euclideana)
 - ◊ $T=0$ AdS e BN-AdS são estáveis
 - ◊ $T \neq 0$ apenas BN-AdS é estavel

TRANSIÇÃO HP EM AdS/QCD

- Herzog (PRL 2007) mostrou que no AdS/QCD (com parede rígida ou suave) ocorre a transição HP em $T \neq 0$:
 - ◊ Rígida: $T_{crit} \approx 130$ MeV
 - ◊ Suave: $T_{crit} \approx 190$ MeV (ok c/ resultados rede!)
- C. A. Ballon Bayona, HBF, N. Braga e L. Pando Zayas (PRD 2008) usando a Renormalização Holográfica confirmamos os resultados de Herzog e calculamos a entropia antes e depois da transição
 - ◊ $T < T_{crit}$: $S \sim 0$
 - ◊ $T > T_{crit}$: $S \sim N^2$ na teoria $SU(N)$
⇒ Liberação dos gúons